

# Computergrafik 2: Übung 6

Korrelation im Orts- und Frequenzraum, Filtern im  
Frequenzraum, Wiener Filter

# Quiz

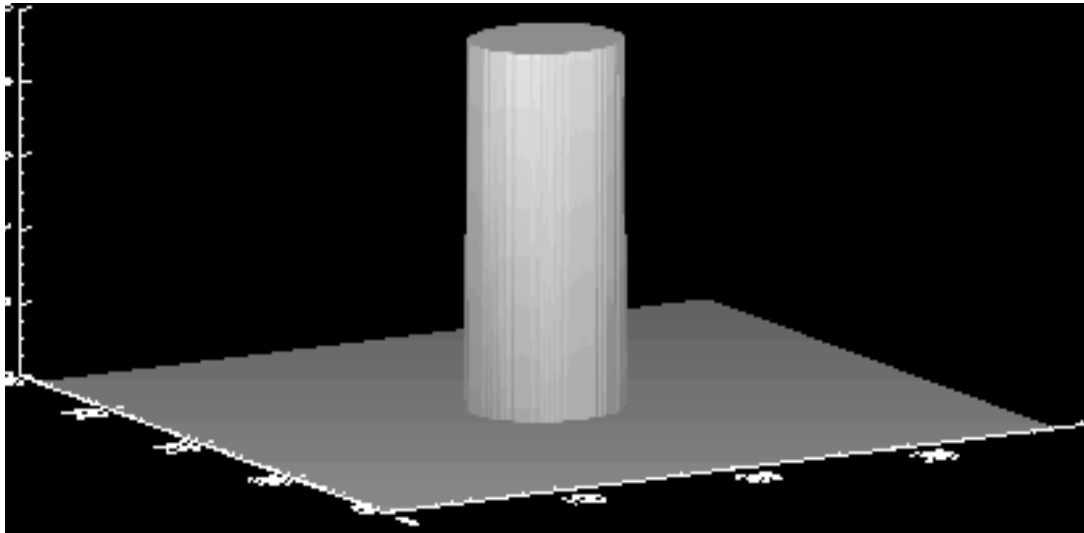
- Warum Filtern im Frequenzraum?
- Ideales Tiefpassfilter? Parameter? Eigenschaften?
- Butterworth-Filter? Parameter? Eigenschaften?
- Gaussfilter? Parameter? Eigenschaften?
- Grundidee Bandpass- / Bandreject-Filterung?
- Grundidee inverse Filterung?
- Probleme bei der inversen Filterung?

# Besprechung Übung 5

- Probleme?

# Ideales Tiefpassfilter

- Tiefpassfilter lässt tiefe Frequenzen passieren und dämpft hohe Frequenzen
- Ideales Tiefpassfilter  $H_{F_{\max}}(u, v) = \begin{cases} 1 & , \text{ falls } u^2 + v^2 \leq F_{\max}^2 \\ 0 & , \text{ sonst.} \end{cases}$ 
  - ideal low pass filter (ILPF)
- $F_{\max}$ : Cut-Off-Frequenz



© K. D. Tönnies, Grundlagen der Bildverarbeitung

# Butterworth-Filter

- Frequenzen werden nicht gelöscht, sondern nur abgeschwächt

- Tiefpass-Filter (BLPF):

$$H(u, v) = \frac{1}{1 + (D(u, v) / D_0)^{2n}}$$

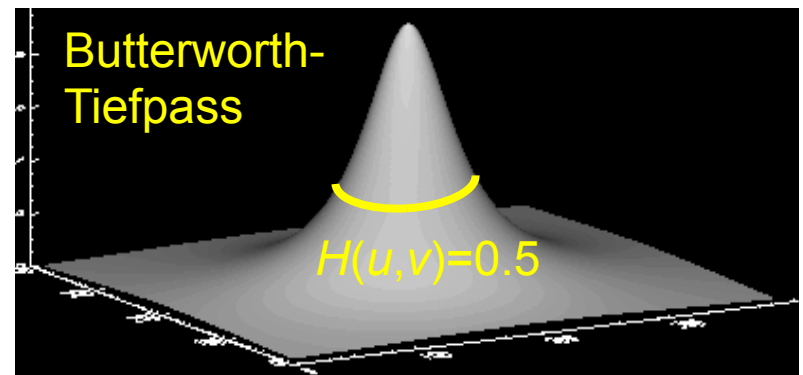
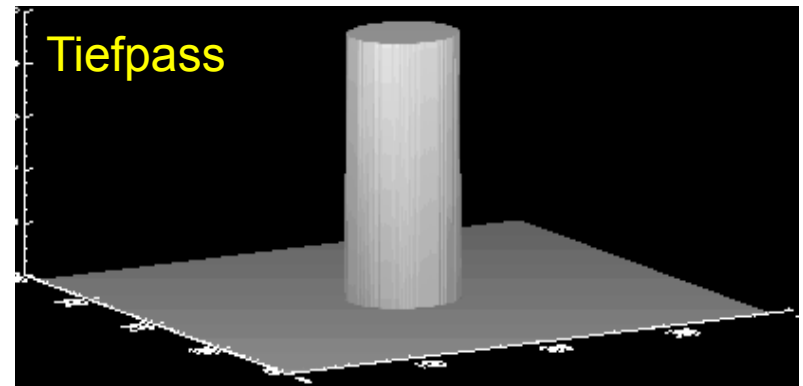
- Hochpass-Filter (BHPF):

$$H(u, v) = \frac{1}{1 + (D_0 / D(u, v))^{2n}}$$

$D_0$ : Cutoff-Frequenz

$D(u, v)$ : Frequenz, Abst. Ursprung

$n$ : Ordnung des Filters



# Gauß-Filter

- Keine Artefakte, da Fourier-Transformation einer Gauß-Funktion wieder eine Gauß-Funktion

- Tiefpass-Filter (GLPF):

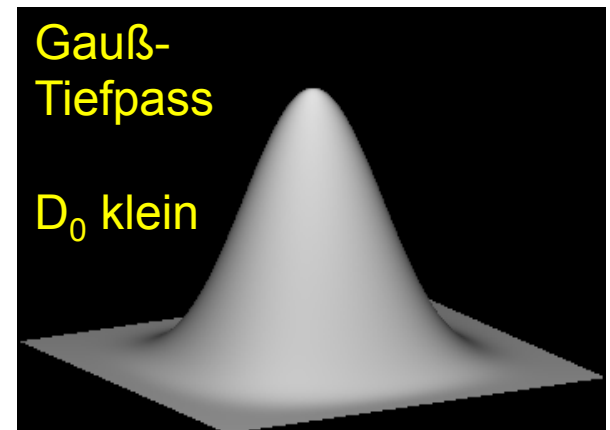
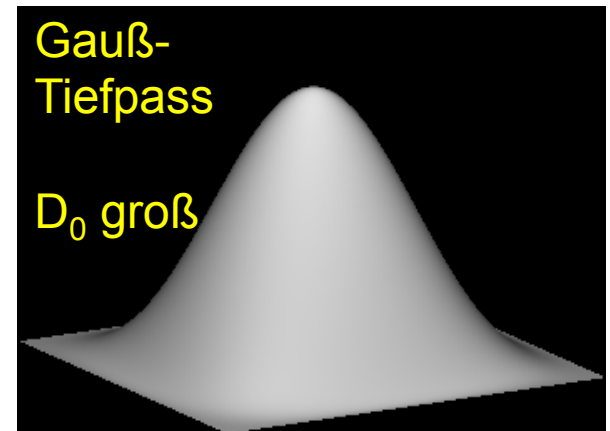
$$H(u, v) = \exp\left(-\frac{D^2(u, v)}{2D_0^2}\right)$$

- Hochpass-Filter (GHPF):

$$H(u, v) = 1 - \exp\left(-\frac{D^2(u, v)}{2D_0^2}\right)$$

$D_0$ : entspricht  $\sigma$

$D(u, v)$ : Frequenz, Abstand vom Ursprung



© K. D. Tönnies, Grundlagen der Bildverarbeitung

# Vermeiden der Auslöschung niedriger Frequenzen beim GHPF

- Hochpass-Filter (GHPF):

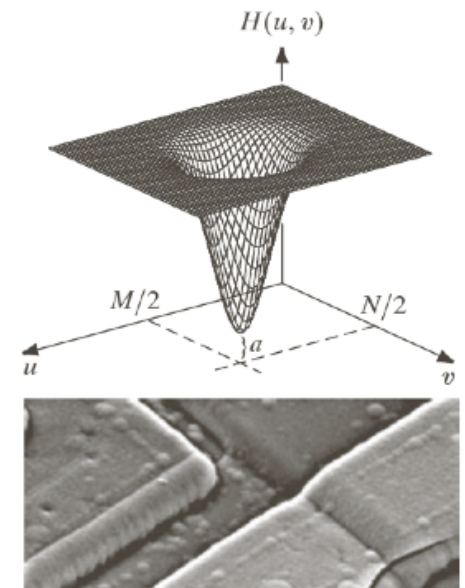
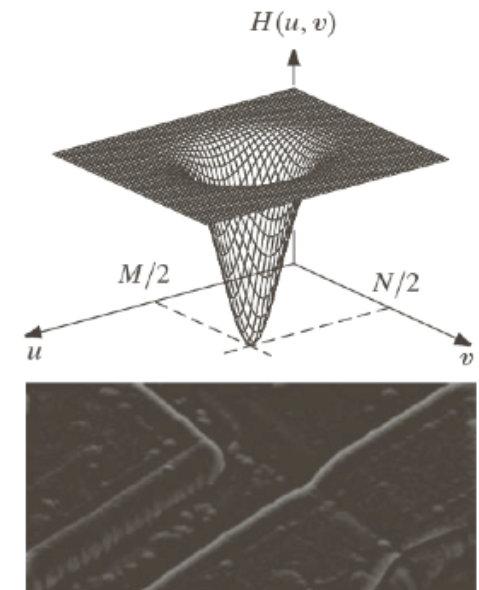
$$H(u, v) = 1 - \exp\left(-\frac{D^2(u, v)}{2D_0^2}\right)$$
$$0 \leq H(u, v) \leq 1$$

- modifiziertes GHPF:

$$H_a(u, v) = a + (1 - a) \cdot H(u, v)$$
$$a \leq H_a(u, v) \leq 1$$

$D_0$ : entspricht  $\sigma$

$D(u, v)$ : Frequenz, Abstand vom Ursprung

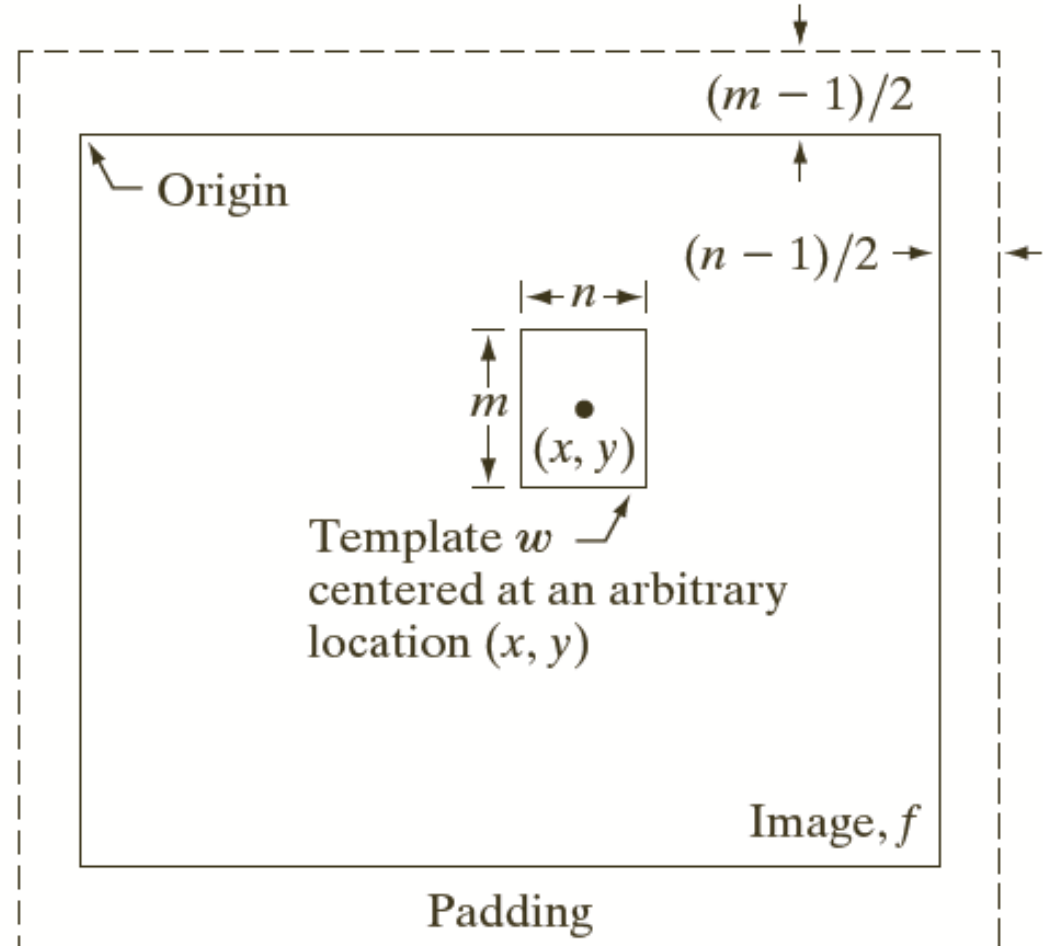


# in Python

```
def GLPF((h,w), D0, a = 0.0):  
    H = np.zeros((h,w), dtype='float32')  
    for y in xrange(h):  
        for x in xrange(w):  
            dx = x - w/2  
            dy = y - h/2  
            D = np.sqrt(dx * dx + dy * dy)  
            H[y,x] = np.exp(-D**2/(2*D0**2))  
            if a > 0.0:  
                H[y,x] = a + (1.0 - a) * H[y,x]  
    return H
```

# Korrelation im Ortsraum

- Ähnlichkeiten zwischen Bild und Modell feststellen
- Modell (Template) im Bild suchen



© R. C. Gonzalez & R. E. Woods, Digital Image Processing

# Korrelation im Ortsraum

- Ähnlichkeitsmaß (normalisierter) Korrelationskoeffizient
  - Mittelwerte subtrahiert und Varianzen normiert
- Kleineres Bild pixelweise über größeres Bild verschieben und Korrelationskoeffizient berechnen  
(f = Bild, m = Modell/Template, (x,y) = Suchposition)

$$cc_{f,m}(x,y) = \frac{\sum_{s=-a}^a \sum_{t=-b}^b (m(s,t) - \bar{m})(f(x+s, y+t) - \bar{f}(x,y))}{\sqrt{\left[ \sum_{s=-a}^a \sum_{t=-b}^b (m(s,t) - \bar{m})^2 \right] \left[ \sum_{s=-a}^a \sum_{t=-b}^b (f(x+s, y+t) - \bar{f}(x,y))^2 \right]}}$$

$$-1 \leq cc_{f,m}(x,y) \leq 1$$

# Korrelation im Frequenzraum

- Subtrahiere Mittelwerte von f und m
- Ähnlichkeitsmaß: Korrelationskoeffizient  $cc_{f,g}$

$$\begin{aligned}
 cc_{f,m}(x,y) &= \frac{\sum_{s=-a}^a \sum_{t=-b}^b (m(s,t) - \bar{m})(f(x+s, y+t) - \bar{f}(x,y))}{\sqrt{\left[ \sum_{s=-a}^a \sum_{t=-b}^b (m(s,t) - \bar{m})^2 \right] \left[ \sum_{s=-a}^a \sum_{t=-b}^b (f(x+s, y+t) - \bar{f}(x,y))^2 \right]}} \\
 &= k \sum_{s=-a}^a \sum_{t=-b}^b (m(s,t) - \bar{m})(f(x+s, y+t) - \bar{f}(x,y)) \\
 &= k \underbrace{\sum_{s=-a}^a \sum_{t=-b}^b m(s,t) f(x+s, y+t)}_{\text{Korrelationsfunktion}} \implies FT([f \circ g](x,y)) = F(u,v) \cdot G^*(u,v) \\
 &\hspace{15em} \text{Korrelation} \hspace{15em} \text{G konjugiert}
 \end{aligned}$$

# Python-Tipps

```
plt.gray()
```

```
...
```

```
f = f - np.mean(f)
```

```
fftSize = (M,N)
```

```
F = np.fft.fft2(f, fftSize)
```

```
F = np.fft.fftshift(F)
```

```
plt.imshow(np.log(np.abs(F)))
```

```
...
```

```
M = np.conjugate(M)
```

```
...
```

```
CC = np.fft.ifftshift(CC)
```

```
cc = np.fft.ifft2(CC, fftSize)
```

```
cc = cc[0:h, 0:w]
```

```
cc = np.real(cc)
```

```
...
```

```
plt.imshow(cc,  
cmap=plt.get_cmap('jet'))
```

```
...
```

```
cc2[cc2 < 0.75 * np.max(cc2)] = 0.0
```

# Bandreject/Bandpass-Filter

- Bandreject-Filter

- Ideal 
$$H(u, v) = \begin{cases} 0 & , \text{ falls } D_0 - \frac{W}{2} \leq D \leq D_0 + \frac{W}{2} \\ 1 & , \text{ sonst} \end{cases}$$

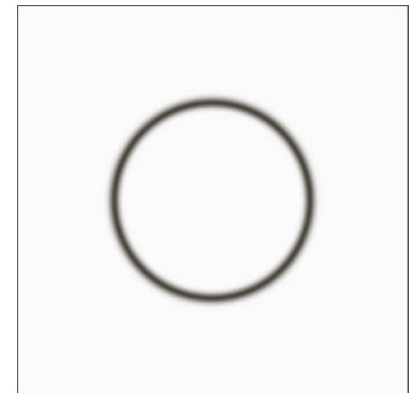
- Butterworth 
$$H(u, v) = \frac{1}{1 + \left( \frac{DW}{D^2 - D_0^2} \right)^{2n}}$$

- Gauß 
$$H(u, v) = 1 - \exp\left(-\left(\frac{D^2 - D_0^2}{DW}\right)^2\right)$$

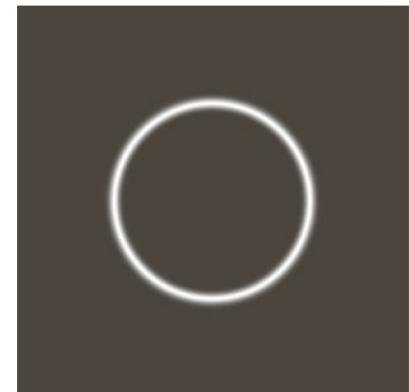
- Bandpass-Filter

$$H_{BP}(u, v) = 1 - H_{BR}(u, v)$$

Gauß-  
Bandreject-  
Filter

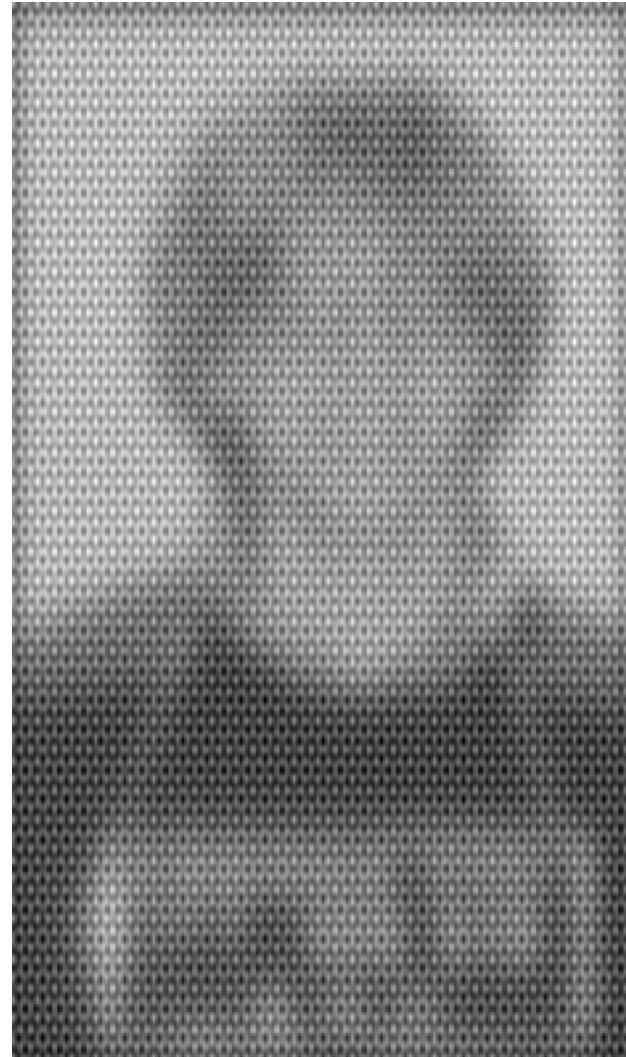


Gauß-  
Bandpass-  
Filter



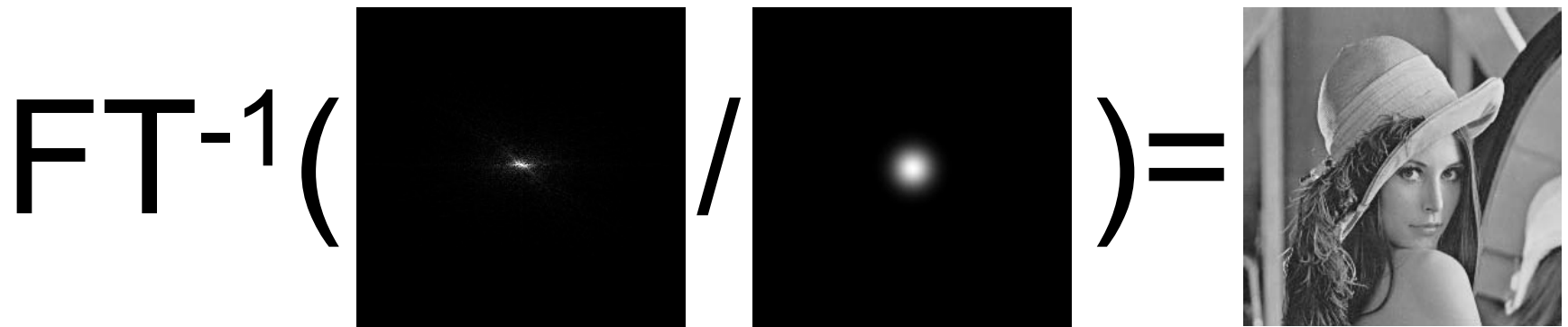
# Wer ist das?

- Bildrestauration, wie?



# Inverse Filterung

- Vollständige Rückgewinnung der Information aus den gestörten Daten

$$FT^{-1} \left( \frac{\text{[Distorted Image Spectrum]}}{\text{[Filter Spectrum]}} \right) = \text{[Original Image]}$$
The diagram illustrates the process of inverse filtering. It features the mathematical expression  $FT^{-1} \left( \frac{\text{[Distorted Image Spectrum]}}{\text{[Filter Spectrum]}} \right) = \text{[Original Image]}$ . The first square in the fraction represents the distorted image spectrum, showing a central peak with a surrounding halo. The second square represents the filter spectrum, which is a smooth, bell-shaped curve centered on the same point. The result of the division is the original image, a grayscale photograph of a woman wearing a hat.

# Numerische Probleme bei der inversen Filterung

$$g = h * f \Rightarrow f(m, n) = FT^{-1} \left( \frac{G(u, v)}{H(u, v)} \right)$$

komplexe  
Zahlen  
dividieren?

- Problem: Nullstellen von H
  - Treten auf, falls h als Matrix nicht den vollen Rang hat
  - Auch kleine Werte von H sind numerisch schon ein Problem
- Deswegen in der Praxis:

$$F(u, v) = \begin{cases} \frac{G(u, v)}{H(u, v)} & H(u, v) > H_{\min} \\ 0 & \text{sonst} \end{cases}$$

# Rauschen

- Problem: Inverse Filterung geht von idealen (ungestörten) Daten aus
- aber: Bilddaten enthalten Rauschen
- inverse Filterung verstärkt Rauschen extrem
  - mit steigender Frequenz: (weißes) Rauschen bleibt, Signal-Amplitude nimmt schnell ab, Rauschanteil wird höher

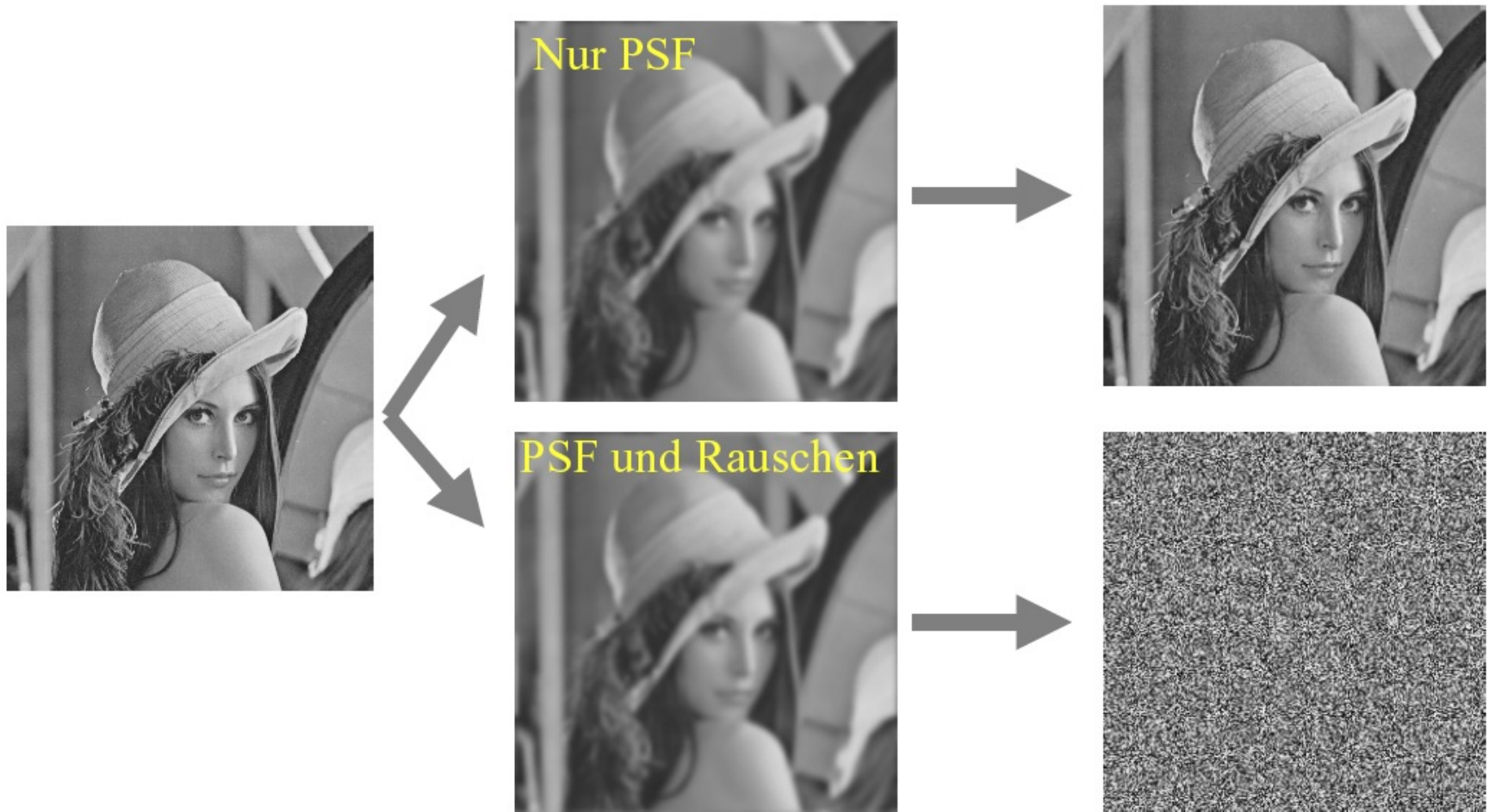
$$g(m, n) = f(m, n) * h(m, n) + \eta(m, n)$$

$$G(u, v) = F(u, v) \cdot H(u, v) + N(u, v) \Leftrightarrow \frac{G(u, v)}{H(u, v)} = F(u, v) + \frac{N(u, v)}{H(u, v)}$$

- ad-hoc Lösung: hohe Frequenzen ausschließen

# Rauschen

- Invertierung bei Rauschen oft nicht möglich

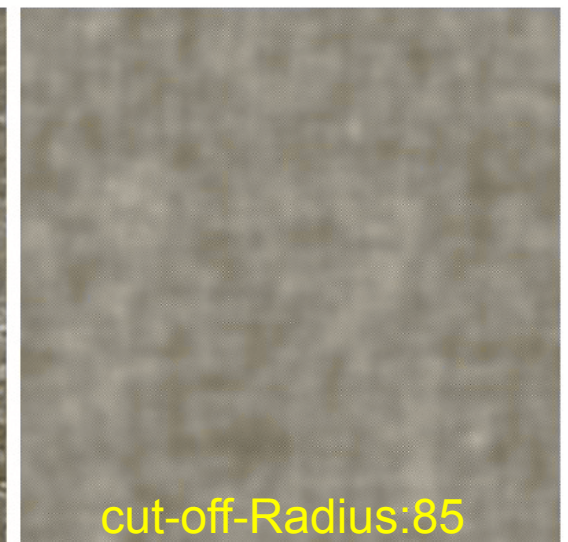
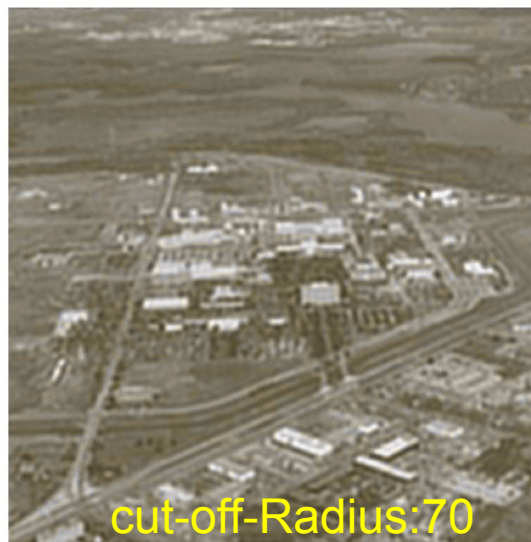
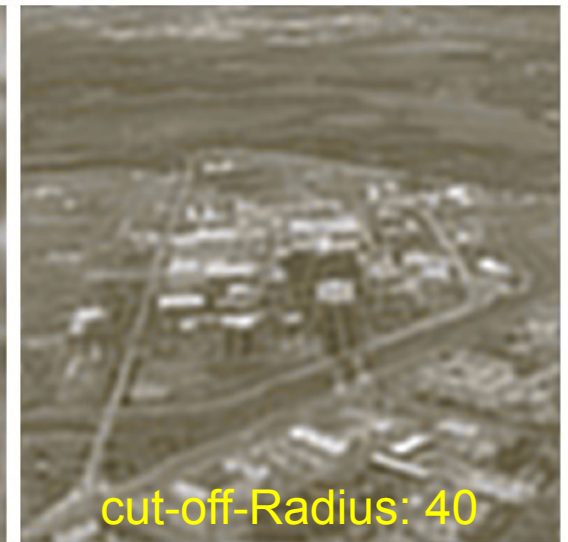
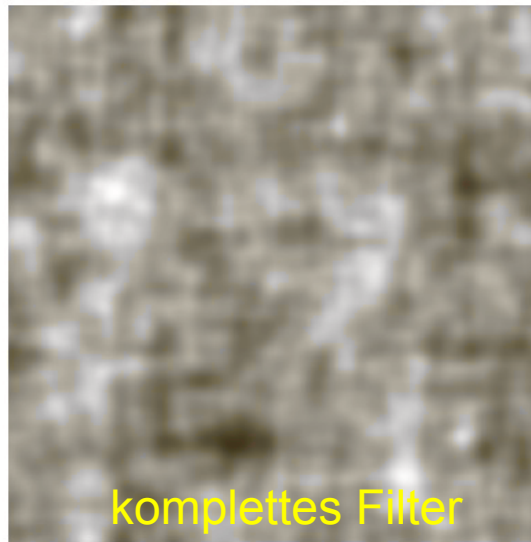


# Abschneiden hoher Frequenzen

a	b
c	d

**FIGURE 5.27**

Restoring Fig. 5.25(b) with Eq. (5.7-1). (a) Result of using the full filter. (b) Result with  $H$  cut off outside a radius of 40; (c) outside a radius of 70; and (d) outside a radius of 85.



© R. C. Gonzalez & R. E. Woods, Digital Image Processing

# Wiener Filter

- Minimierung des Fehlers zwischen Originalbild  $f$  und Schätzer  $\hat{f}$  führt zu

$$\hat{F}(u, v) = X(u, v) \cdot G(u, v)$$

$$X(u, v) = \frac{1}{H(u, v)} \frac{|H(u, v)|^2}{|H(u, v)|^2 + \frac{S_\eta(u, v)}{S_f(u, v)}} = \frac{1}{H(u, v)} \frac{|H(u, v)|^2}{|H(u, v)|^2 + \frac{|N(u, v)|^2}{|F(u, v)|^2}}$$

- $S_\eta$  und  $S_f$  sind die Spektren (Quadrate der Amplituden) des Rauschens bzw. der ungestörten Funktion
  - $S_\eta = 0$  (ungestört)  $\rightarrow$  perfekte inverse Filterung
- Wiener Filter dämpft Frequenzen abhängig von SNR

# Heuristisches Wiener Filter

- Leider ist  $S_\eta$  in der Praxis meist unbekannt
- Lösung: Konstante  $K$ : heuristisches Wiener Filter

$$\hat{F}_K(u, v) = X_K(u, v) \cdot G(u, v)$$

$$X_K(u, v) = \frac{1}{H(u, v)} \frac{|H(u, v)|^2}{|H(u, v)|^2 + K}$$

$$|H(u, v)|^2 = H^*(u, v)H(u, v) = \text{re}(H(u, v))^2 + \text{im}(H(u, v))^2$$

# Wiener Filter Herleitung

- Bild/Signal  $s$  und Rauschen/Noise  $n$  im Ortsraum:

$$o(x) = s(x) + n(x)$$

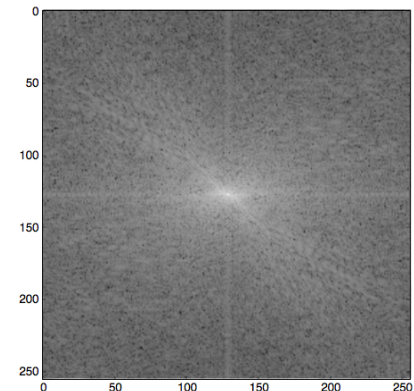
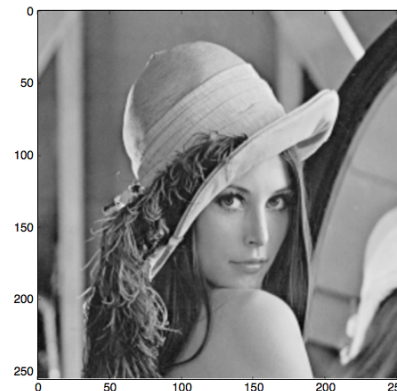
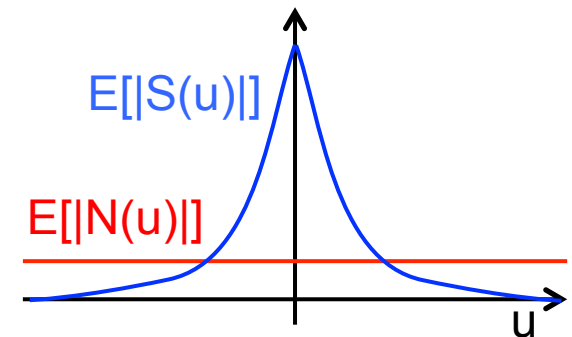
$o$  = „Observation“

- Bild/Signal  $s$  und Rauschen/Noise  $n$  im Frequenzraum:

$$O(u) = S(u) + N(u)$$

- Annahmen

- $S(u)$  sind normalverteilte Zufallsvariablen
- $N(u)$  sind normalverteilte Zufallsvariablen
- $E[|S(u)|]$  nimmt mit steigendem  $u$  ab
- $E[|N(u)|]$  ist konstant (weißes Rauschen)

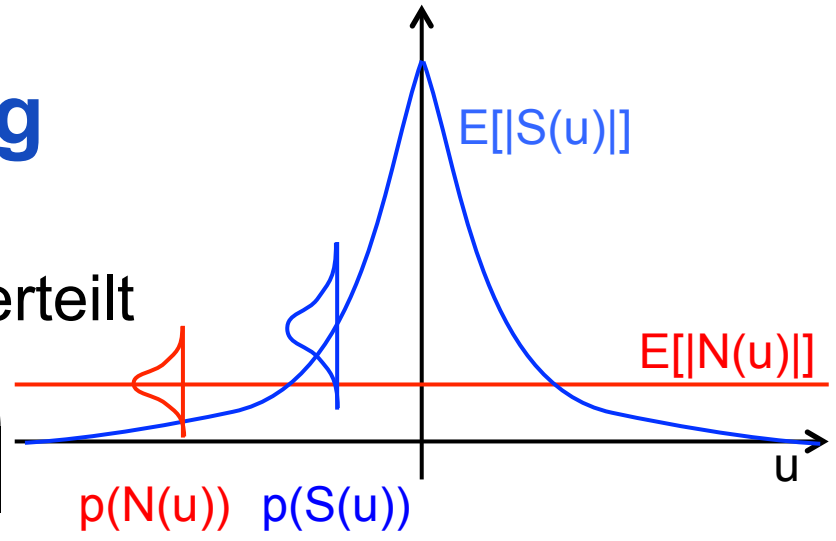


$E[X]$  = Erwartungswert  
der Zufallsvariablen  $X$

# Wiener Filter Herleitung

- $S(u)$  ist  $(\mu_S(u), \sigma_S^2(u))$ -normalverteilt

$$p(S(u)) = \frac{1}{\sigma_S(u)\sqrt{2\pi}} \exp\left(-\frac{(S(u) - \mu_S(u))^2}{2\sigma_S(u)^2}\right)$$



$$\sigma_S(u)^2 = E\left[|S(u) - \mu_S(u)|^2\right] = E\left[|S(u)|^2\right], \text{ für } \mu_S(u) = 0$$

- $N(u)$  ist  $(\mu_N(u), \sigma_N^2(u))$ -normalverteilt

für  $\mu_N(u) = 0, \sigma_N(u) = const$

$$p(N(u)) = \frac{1}{\sigma_N(u)\sqrt{2\pi}} \exp\left(-\frac{(N(u) - \mu_N(u))^2}{2\sigma_N(u)^2}\right) = \frac{1}{\sigma_N\sqrt{2\pi}} \exp\left(-\frac{N(u)^2}{2\sigma_N^2}\right)$$

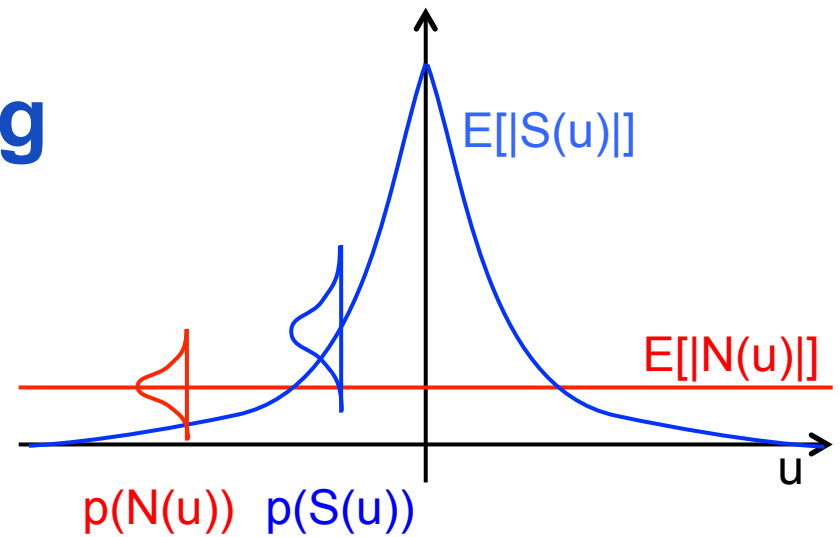
$$O(u) = S(u) + N(u)$$

$$p(O(u) | S(u)) = p(S(u) + N(u) | S(u)) = \frac{1}{\sigma_N\sqrt{2\pi}} \exp\left(-\frac{(O(u) - S(u))^2}{2\sigma_N^2}\right)$$

# Wiener Filter Herleitung

- Satz von Bayes

$$p(S(u) | O(u)) = \frac{p(O(u) | S(u)) \cdot p(S(u))}{p(O(u))}$$



$$p(O(u)) = \sum_{v=-\infty}^{\infty} p(O(u) | S(u) = v) \cdot p(S(u) = v) = const$$

- Gegeben Beobachtung  $O(u)$ , was ist wahrscheinlichstes Signal?
  - maximiere  $p(S(u) | O(u))$
  - äquivalent zu: minimiere  $-\log(p(S(u) | O(u)))$

$$-\log(p(S(u) | O(u))) = -\log(p(O(u) | S(u))) - \log(p(S(u))) + \log(p(O(u)))$$

$$= \frac{(O(u) - S(u))^2}{2\sigma_N^2} + \frac{(S(u) - \mu_S(u))^2}{2\sigma_S(u)^2} + const$$

➔  
Abl. nach  $S(u)$

$$S(u) = \frac{1}{1 + \frac{\sigma_N^2}{\sigma_S(u)^2}} O(u)$$

# Wiener Filter Herleitung

$$\begin{aligned} f(S(u)) &= -\log(p(S(u)|O(u))) \\ &= -\log(p(O(u)|S(u))) - \log(p(S(u))) + \log(p(O(u))) \\ &= -\log\left(\frac{1}{\sigma_N\sqrt{2\pi}} \exp\left(-\frac{(O(u)-S(u))^2}{2\sigma_N^2}\right)\right) - \log\left(\frac{1}{\sigma_S(u)\sqrt{2\pi}} \exp\left(-\frac{(S(u))^2}{2\sigma_S(u)^2}\right)\right) + \log(p(O(u))) \\ &= -\log\left(\frac{1}{\sigma_N\sqrt{2\pi}}\right) + \frac{(O(u)-S(u))^2}{2\sigma_N^2} - \log\left(\frac{1}{\sigma_S(u)\sqrt{2\pi}}\right) + \frac{(S(u))^2}{2\sigma_S(u)^2} + \log(p(O(u))) \end{aligned}$$

- Ableitung von  $f(S(u)) = -\log(S(u)|O(u))$  nach  $S(u)$ :

$$f'(S(u)) = -2\frac{O(u)-S(u)}{2\sigma_N^2} + 2\frac{S(u)}{2\sigma_S(u)^2} = S(u)\left(\frac{1}{\sigma_N^2} + \frac{1}{\sigma_S(u)^2}\right) - \frac{O(u)}{\sigma_N^2} = 0$$

$$\Leftrightarrow S(u) = \frac{1}{1 + \frac{\sigma_N^2}{\sigma_S(u)^2}} O(u) = W(u) \cdot O(u), \quad \text{mit } W(u) = \frac{1}{1 + \frac{\sigma_N^2}{E[|S(u)|^2]}}$$